

## 交流變換技術

金榮石  
(正會員)

韓國電氣研究所 電力電子研究室 先任研究員

### I. 序論

電力を 표시하는 데에는 電壓, 電流, 周波數의 3 요소가 있다. 電子工學 分野에서는 이러한 3요소를 충분히 활용하여 왔다. 그러나, 電氣工學 分野에서 電壓, 電流의 2 요소는 變壓器로 자유로이 고효율로 행하여져 왔으나, 周波數은 그 變換裝置가 變壓器에 필적할 만한 고효율로 신뢰성이 있는 것이 없었기 때문에 直流 또는 고정된 商用周波數을 사용하여 왔다. 최근, 대용량의 電力用 半導體 素子 개발에 따라 周波數 變換技術의 급진적 발전을 이룩하게 되었다.

電氣工學 分野에서는 電子工學 分野와는 다르게 특히, 效率을 問題로 하기 때문에 周波數 變換器에 半導體 스위칭 素子를 사용하여 電源을 on·off 하여 周波數를 變換한다.

交流 周波數 變換器에는 인버터方式과 싸이크로콘버터方式이 있다. 인버터方式은 整流回路로 交流電力を 일단 直流電力으로 변환하고, 이를 인버터에 의해 다른 周波數의 交流電力으로 변환하는 것으로 인버터 自體에 出力電壓의 振幅 調整機能을 갖고 있는 것과 振幅 周整機能이 없기 때문에 直流電壓을 整流回路에서 制御하여 出力電壓의 振幅을 可變하는 것이다. 이에 대하여 싸이크로콘버터는 일정 周波數의 交流電源을 可變電壓, 可變周波數의 交流로 직접 변환하는 周波數 變換器이다.

여기서는 直接變換方式인 싸이크로콘버터의 여러 가지 回路方式 및 動作原理에 대하여 論議하고자 한다.

### II. 싸이크로콘버터

일반적으로 싸이크로콘버터라 함은 다이리스터를 사용한 自然轉流形 싸이크로콘버터를 칭하고 있으나, 엄밀히 구분하면 싸이크로콘버터는 自然轉流形 싸이크로콘버터와 強制轉流形 싸이크로콘버터 (以下

NCC와 FCC로 약칭)로 나눌 수 있다. 따라서 여기서는 싸이크로콘버터를 NCC와 FCC로 나누어서 기술하고자 한다.

#### 1. NCC

NCC는 電源轉流를 행하기 때문에 位相制御 특유의 人力功率 低下를 피할 수 없고, 일반적으로 出力周波數의 上限이 電源周波數의  $1/3 \sim 1/2$ 로 제한되며, 인버터에 비하여 素子數가 많고, 이에 따라 gate 回路가 복잡하다는 결점을 갖고 있다. 그러나, NCC는 直接變換을 행하고, 電源轉流이기 때문에 轉流失敗 時의 보호대책이 용이하므로 신뢰성이 높고, 電力變換效率이 좋은 점 등의 장점을 갖고 있다.

電動機의 可變速驅動에 있어서 容量이 클 수록 定格回轉數가 낮고, 토크 맥동이 중시되므로 大容量 電動機 可變速驅動用 電源으로서 NCC가 가장 적합하다 할 수 있다. 예를 들면, 鐵岡·銅壓延機 驅動시스템은 급격한 可減速, 正逆운전, 부하변동 등 가혹한 운전이 요구되어 과거에는 直流機이 사용되어 왔다. 그러나 直流機은 구조가 복잡하고 정기적인 보수를 필요로 한다. 이러한 이유로 交流機의 사용이 절실히 요구되고 있으며 NCC에 의한 大容量 交流機 驅動이 주목되고 있다.

##### (1) 定比式 NCC의 動作原理

싸이크로콘버터 중에서 가장 간단한 回路方式은 電源周波數을  $1/N$  또는  $N$ 倍의 周波數 ( $N$ 은 定數)를 발생하는 定比式 NCC이다. 그림 1에 電源電壓의  $1/N$ 倍의 出力電壓을 얻을 수 있는 正比式 NCC의 回路構成과 出力電壓波形을 예시하고 있다. 그림에서 다이리스터는 交流負荷電流를 흐르게 하기 위해 역병렬로 접속하고 있으며 出力電壓波形은 電源周波數의  $1/2$ 周形과  $1/3$ 周形을 표시하고 있다. 각각은 電源의 半싸이클波形을 2개 또는 3개를 교대로 발생한다. 이方式은 制御는 간단하나 出力波形이 양호하지 못하다.

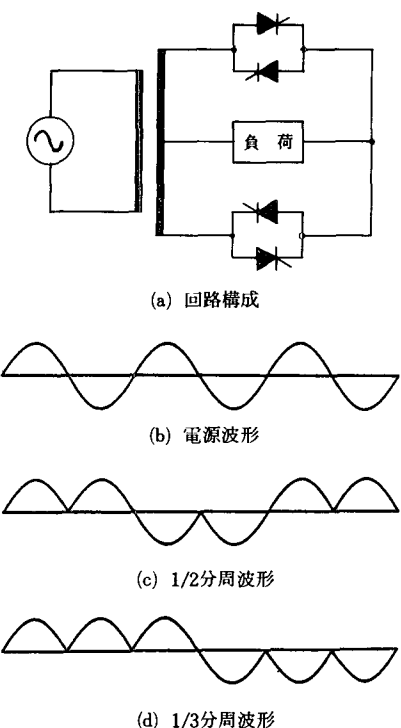


그림 1. 1/n倍周波数 NCC

多相電源에 의한 梯形波 NCC, 包絡波 NCC가 波形이 양호하고 실용적이다.<sup>[1]</sup>

그림 2 와 그림 3에 電源周波數의  $N$ 倍 出力周波數를 발생하는 예로서, 2倍 및 3倍의 周波數를 각각 발생하는 定比式 NCC의 回路構成과 出力電壓波形을 나타내고 있다. 四相 또는 三相電壓을 조합하여 斜線으로 표시하는 2倍 또는 3倍의 出力周波數를 얻고 있다. 종래에는 이러한 종류의 NCC는 負荷가 低抗으로 한정되어 있었고, 더구나 入力電流波形이 나쁜 점 등의 단점이 있었으나, 종래의 電壓零點에 同期한 轉流法 대신에 負荷電流가 零點을 통과하는 位相角에서 轉流를 행하는 方式을 채용하여 誘導負荷에서도 사용할 수 있게 하였으며, 또한 三相出力結線으로 운전하면 入力電流의 高調波를 개선할 수 있다.<sup>[2]</sup> 이 方式은 수백 Hz의 誘導加熱用 電源으로도 검토할 가치가 있다고 생각된다.

## (2) 連續式 NCC의 動作原理

連續式 NCC는 임의의 振幅과 周波數를 가진 出力電壓을 얻을 수 있는 싸이크로콘버터로서 非循環電流形과 循環電流形이 있다. 連續式 NCC의 기본 구성 요소는 整流回路이므로 連續式 NCC를 이해하기 위해

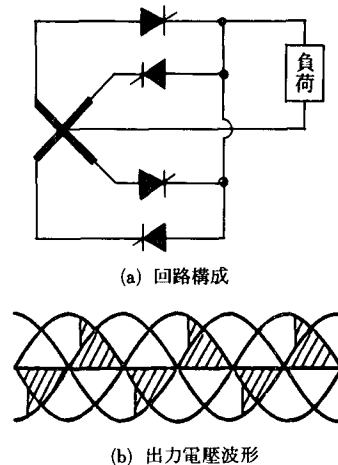


그림 2. 2倍周波数 NCC

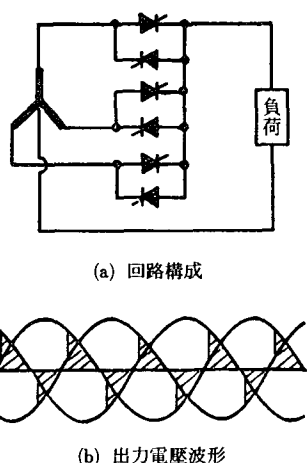


그림 3. 3倍周波数 NCC

서는 整流回路의 동작을 알 필요가 있다.

### 1) 整流回路

일반적으로 交流電力を 直流電力으로 변환하는 回路를 整流回路라 한다. 그림 4는 다이리스터를 이용한 三相全波整流回路를 나타내고 있다. 整流回路는 位相制御角  $\alpha$ 를 변화시켜서 可變直流出力電壓을 얻을 수 있다. 整流回路에도 交流電源의 相數와 回路構成 方法에 따라 여러 종류의 回路가 있으나, 그 중에서 대표적인 것이 그림 4에 표시한 三相全波整流回路이다. 그림에서 直流리액터  $L_d$ 의 인더턴스가 충분히 커서 出力電流  $i_d$ 가 완전히 平滑화되어 일정치라고 가정하자.

三相全波整流回路를 位相制御角  $\alpha$ 로 운전하면 그림

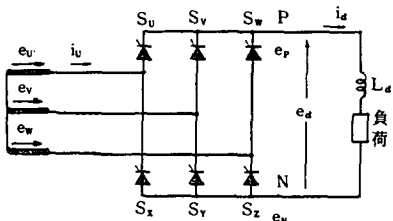


그림 4. 三相全波整流回路

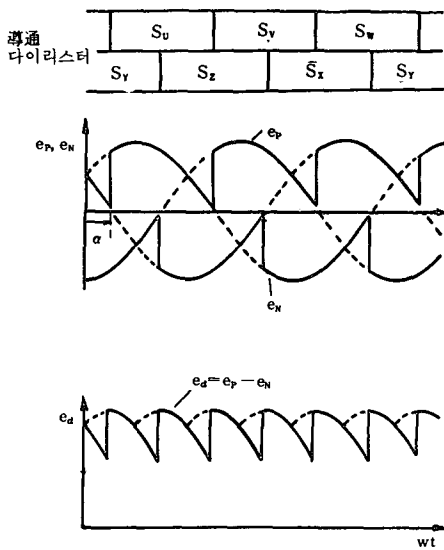


그림 5. 三相全波整流回路의 出力電流波形

5와 같은 波形이 얻어진다. 그림에서 電源電壓  $e_v$ ,  $e_u$ ,  $e_w$  中에 2개의 電壓이 일치한 時點으로부터 角度  $\alpha$  만큼 지난 점에서 그림에 표시한 순서로 다이리스터  $s_u \sim s_z$ 를 點弧한다. 이와 같이 점호하면  $s_u$ ,  $s_v$ ,  $s_w$ 가 正의 半波를,  $s_x$ ,  $s_y$ ,  $s_z$ 가 負의 半波를 整流하여 電源의 中性點에서 본 P점과 N점의 電壓波形은  $e_p$ ,  $e_n$ 이 된다. 따라서, 整流回路의 直流出力 電壓  $e_d$ 는

$$e_d = e_p - e_n \quad (1)$$

된다. 여기서, 直流出力電壓  $e_d$ 의 평균치  $E_{da}$ 는 그림 5로부터 다음과 같이 나타낼 수 있다.

$$E_{da} = \frac{3\sqrt{3}}{\pi} E_m \cos \alpha = E_m \cos \alpha \quad (2)$$

단,  $E_{da}$ 는  $\alpha=0$  (無制御時)에 있어서의 直流電壓의 평균치이며,  $E_m$ 은 電源相電壓의 振幅이다.

한편, 다이리스터의 轉流가 電源電壓에 의해 행하여

질 수 있는 轉流條件으로부터 位相制御角  $\alpha$ 는 다음과 같은 制約條件이 필요하다.

$$0 \leq \alpha \leq \pi - \gamma \quad (3)$$

여기서,  $\gamma$ 는 消弧角이라 하며, on 상태에 있는 다이리스터를 off 시키는데 필요한 최소의 역바이어스 期間으로 電流의 重複角(電源 impedance에 의존)을  $u$ , 다이리스터의 turn off 時間을  $t_{off}$ 라 하면

$$\gamma > u + \omega \cdot t_{off} \quad (4)$$

을 만족해야 한다. 여기서,  $\omega$ 는 電源角 周波數이다.

式(2)와 (3)에서 位相制御角  $\alpha$ 를 0에서  $\pi/2$  까지 변화시키는 것에 의해 直流出力 電壓을 正의 최대치에서 0까지 제어할 수 있다. 이때 整流回路는 콘버터(順變換器)로서 동작하며, 電源側 交流電力이 直流電力으로 변환되어 出力側에 공급된다.

位相制御角  $\alpha$ 를  $\pi/2$ 에서  $\pi - \gamma$  까지 변화시키면 直流出力 電壓은 負가 되며, 出力側(直流側)에 에너지源이 있어 出力電流  $i_d$ 가 계속 흐른다고 가정하면, 出力電壓  $e_d$ 와 出力電流  $i_d$ 는 동일 방향이 되므로 出力側 直流電力이 交流電力으로 변환되어 電源側에 공급된다. 이 경우에 整流回路는 인버터(逆變換器)로서 동작한다. 이와 같은 인버터는 轉流에 필요한 無効電力이交流電源에서 공급되므로 他勵式 인버터라 한다.

## 2) 非循環電流形 NCC

三相全波整流回路는 그 制御角이  $\pi/2$ 를 경계로 콘버터 동작과 인버터 동작이 가능한 周波數變換器라는 것을 알았다. 따라서, 그림 6 (a)와 같이 三相全波整流回路를 역병렬로 접속하여 出力電流  $i_L$ 이 正인 경우에는 正群콘버터를, 負인 경우에는 負群콘버터를 각각 운전시키면  $e_L$ 과  $i_L$ 는 正負 어느 쪽의 値도 얻을 수 있어 4象限動作이 가능하다. 그러므로 式(2)에서 표시하는 直流平均電壓이 正弦電壓, 正弦周波數의 交流가 얻어질 수 있다는 것은 용이하게 이해할 수 있다. 이것은 더 말할 나위도 없이 VVVF의 三相一單相(6필스 브리지) NCC이다.

그림 6 (b)는 이 NCC의 出力電壓  $e_L$ 과 出力電流  $i_L$ 의 波形을 예시한 것으로, 出力周波數가 電源周波數의 1/5, 負荷力率(基本波功率率)이 0.8인 경우이다. 또한, 그림 6 (b)에는 正群콘버터와 負群콘버터의 동작상태도 표시하고 있으며, 이와 같이 NCC는 順變換動作과 逆變換動作을 반복하여 無効電力を 電源에 回生시키고 있으므로 誘導性 또는 容量性負荷에도 안정된 동작을 한다.

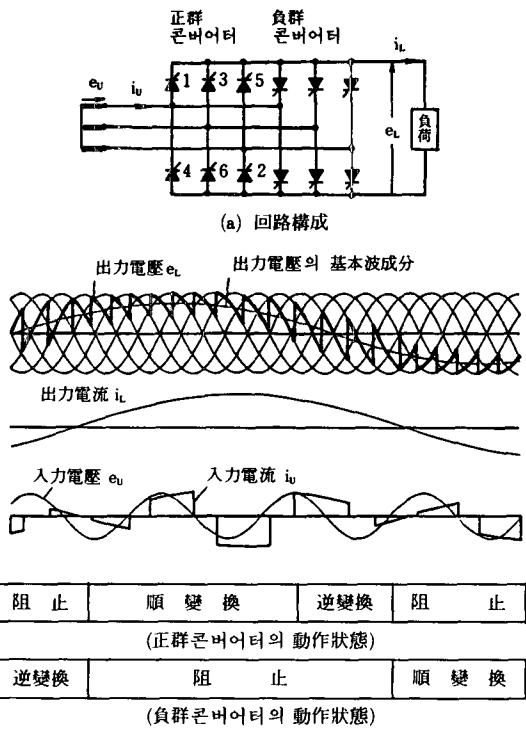


그림 6. 6 펄스 브리지 NCC의 회로구성과 작동파형  
(對稱制御方式)

다음은 제어각  $\alpha$ 를 여하히位相변경하면 좋은가를,  
수식적으로 다루어 보기로 하자. 희망하는 출력전압  
( 출력전압의 기본파 成分)  $e_s$ 를

$$e_s = E_0 \cos \omega_0 t \quad (5)$$

로 가정하자. 단,  $\omega_0$ 는 출력각주파수,  $E_0$ 는 희망하는  
출력전압의振幅을 나타낸다. 전술한 바와 같이 연속  
형 NCC는 整流回路의 直流出力전압의 평균치를 正弦  
波상으로 변화시키는 것이라 생각할 수 있으므로,  
제어각  $\alpha$ 는

$$E_{d0} \cos \alpha(t) = E_0 \cos \omega_0 t \\ \therefore \alpha = \cos^{-1}(k \cos \omega_0 t) \quad (6)$$

된다. 단,  $k$ 는 振幅比로서,  $k = E_0 / E_{d0}$ 이며  
 $0 \leq k \leq 1$ 의 값을 취할 수 있다.<sup>[5, 6]</sup>

이와 같이 연속형 NCC의 출력각주파수와 출력전압의  
振幅은 式(5)의  $\omega_0$ 와  $k$ 에 의해 임의로 설정할 수 있  
으므로 式(5)는 VVVF의 연속형 NCC에서 제어각  $\alpha$   
를 결정하는 중요한 관계식이라 할 수 있다. 式(6)을

餘弦波定理라 하며, NCC를 구성하는 모든 다이리스  
터를 항상 式(6)의 원리에 의해 점호시키는 방식을  
對稱制御方式이라 한다.

그림 6 (b)에서 알 수 있는 바와 같이 非循環電流形  
NCC는 動作해야 할 콘버터가 負荷電流의 极性에  
따라 절환해야 하기 때문에 負荷電流의 零點을 한시 검  
출해야 할 필요가 있으며, 負荷電流의 零點에서 적당  
한 휴지기간을 두어야 한다.

앞에서 논한 바와 같이 NCC는 输入基本波功率이 낮  
다. 그리고, 输入電流高調波, 输出電壓高調波가 输出  
周波數에 따라 복잡하게 변화하는 등의 문제점이 많다.  
输入功率이 낮으면 電源設備容量의 증대를 초래하고, 输出  
電壓의 高調波는 電動機의 토크磁通, 電源系統에의  
악영향(誘導障害, 系統에 연결된 다른 機器의 이상음,  
과열 등)을 미친다. 이와 같은 문제를 해결하기 위해  
많은 研究가 행해져 있다.

输入基本波功率을 개선하기 위하여, 그림6(a)과 같  
이 正群콘버터의 상·하단 다이리스터와 負群콘버터  
의 상·하단 다이리스터 각각의 位相制御角을 다르  
게 제어하는 非對稱制御方式이 제안되고 있다. 예를 들  
면 그림 6 (a)에서 負荷電流  $i_L$ 이 正이고 順變換動作을  
할 때 다이리스터 1, 3, 5로 位相制御(이 경우의 制御  
角  $\alpha$ 와 式(6)에서 정의한 制御角  $\alpha$ 와는 다르다)를 하  
며, 다이리스터 2, 4, 6은 다이오드와 같은 동작을 한  
다.<sup>[6, 7]</sup> 그림 7은 그림 6 (a)의 NCC에 非對稱制御方式  
을 적용했을 때의 输入输出 電壓·電流波形을 예시하고  
있다. 周波數 變換比, 負荷功率은 그림 6 (b)와 동일하  
다. 이 方式에 의한 输入電壓과 電流의 位相差가 對稱

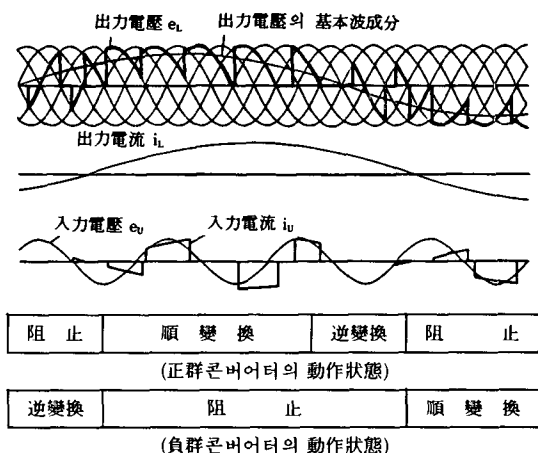


그림 7. 6 펄스 브리지 NCC의 작동파형  
(非對稱制御方式)

制御方式의 것보다 작아진 것을 알 수 있다. 또한赤木氏 등은 NCC를 縱續接續하여 非對稱制御하면 더욱人力力率 개선이 가능하다는 것을 발표하고 있다.<sup>[7]</sup> 그림8에 2台의 NCC를 縱續接續하여 非對稱制御 方式을 적용한 경우의 入出力波形을 예시하고 있다. 여기서도 周波數變換比, 負荷力率은 그림6과 동일하다. 그림9에 앞에서 논한 3 가지 制御方式을 행한 경우의 入力基本波力率과 出力電壓의 관계를 표시하고 있다. 그림에서 出力電壓比는 각 制御方式에 의해 얻어진 出力電壓을 最大出力電壓으로 규격화한 것이다. 그림에서 각 制御方式 중 縱續接續 非對稱制御方式이 入力基本波力率 개선에 가장 좋은 방식이라는 것을 알 수 있다.

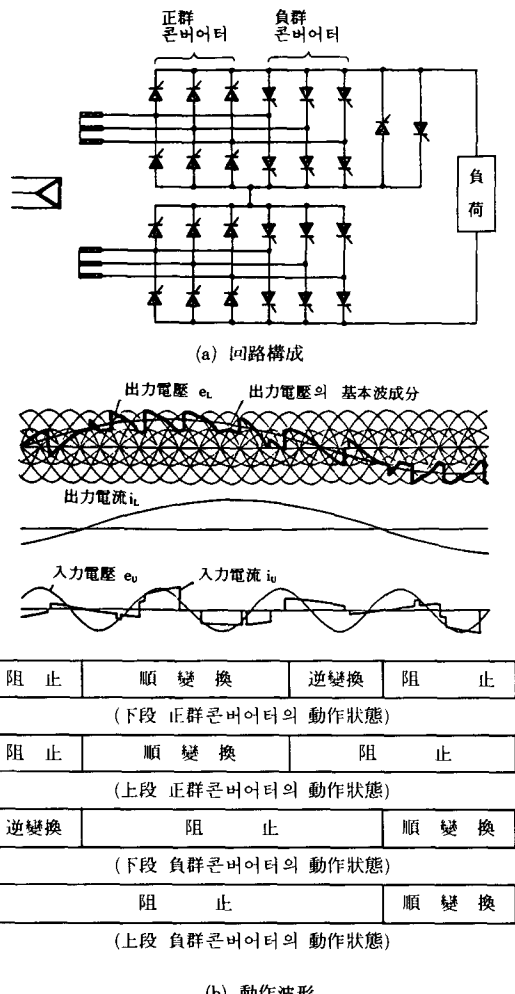


그림8. 縱續接續 NCC의 回路構成과 効動波形  
(非對稱制御方式)

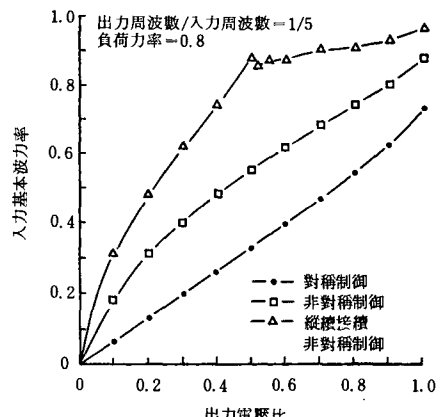


그림9. NCC의 出力電壓比와 入力基本波力率

入力電流, 出力電壓의 波形改善에 유효한 方법으로는 電源 및 出力의 多相多重化(예를 들면, 單相出力 → 三相出力, 6 펄스 NCC→12 펄스 NCC)가 있다. 그림10에 出力의 多相化의 예로서 그림6(a)의 6 펄스 NCC 3台를 이용하여 三相出力으로 한 예를 표시하고 있다. 對稱三相負荷를 상정하여 周波數變換比, 負荷力率은 그림6과 동일하다. 出力의 多相化에 의해 入力電流波形이 개선되고 있음을 알 수 있다. 이와 같은 이유로 NCC는 三相出力으로 이용되는 것이 일반적이다. 그림11에는 出力多重化의 예로서 그림6(a)의 6 펄스 NCC 2台를 이용하여 12 펄스로 구성한 NCC의 回路構成, 出力電壓 및 入力電流의 波形을 표시하고 있다. 펄스 수를 증가시킴에 따라 入出力波形이 개선됨을 알 수 있다. 그러나 出力의 多重化는 다수의 다이리스터 및 位

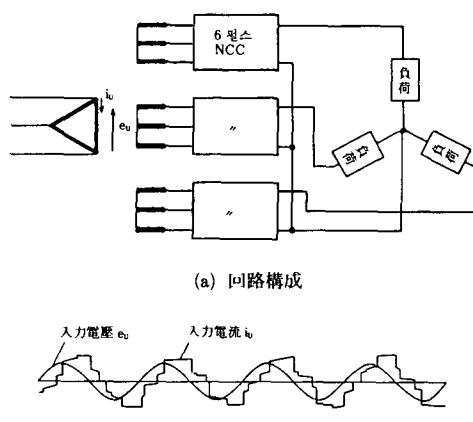


그림10. 三相出力 6 펄스 브리지 NCC

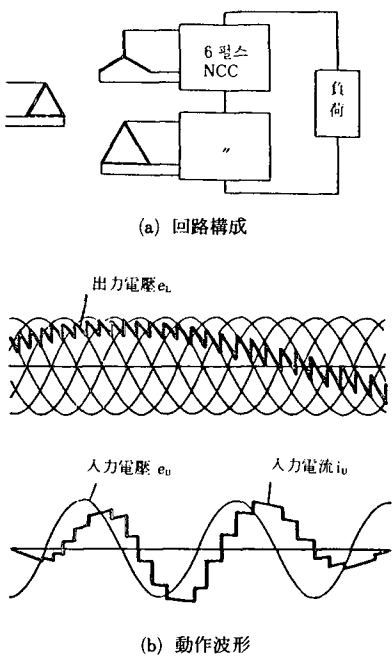


그림11. 12펄스 NCC

相變換用 變壓器가 필요하여 회로構成이 복잡하다. 보다 간단한 회로構成으로 入出力高調波를 개선하는 방법에 관한 연구는 진행되었으나, 그다지 좋은 결과는 얻지 못했다.

### 3) 循環電流形 NCC

循環電流形 NCC는 負荷電流의 極性에 관계없이 正群콘버터와 負群콘버터가 동시에 같은 振幅의 出力電壓을 발생한다. 循環電流 NCC는 正群, 負群의 양 콘버터가 항상 on상태에 있으므로 양 콘버터를 순환하는 循環電流로 인해 비교적 큰 電流가 흐른다. 이 때문에 循環電流形 NCC는 특별한 경우에만 사용되며, 負荷電流의 零點부근에서만 循環電流 方式을 채용하는 部分循環電流形 NCC가 실용적이라 할 수 있다.

그림12에 循環電流形 NCC의 회로構成을, 그림13에 出力電壓波形을 각각 표시하고 있다. 循環電流를 억제하기 위해 正群콘버터와 負群콘버터 사이에 循環電流 리액터  $L_{cc}$ 가 삽입되어 있으며, 리액터  $L_{cc}$ 의 양단에 인가되는 正群콘버터電壓  $e_P$ 와 負群콘버터電壓  $e_N$ 가 크기가 같으므로 리액터  $L_{cc}$ 의 中性點에 발생하는 出力電壓  $e_L$ 는 각 콘버터에서 발생하는 電壓  $e_P$ ,  $e_N$ 와 동일한 크기이다. 그러나, 각 콘버터의 電壓波形이 다르므로 일부 高調波成分은 서로 상쇄되어 出力端에는 나타나지 않는다. 즉 리액터  $L_{cc}$ 의 中性點의 出

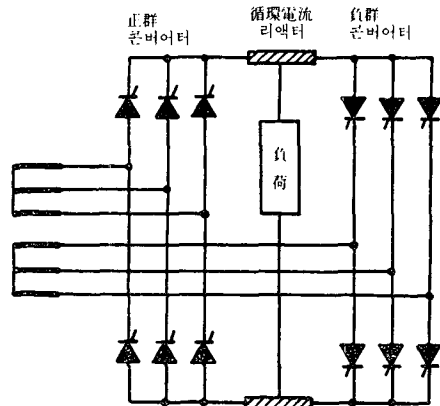


그림12. 循環電流形 NCC의 回路構成

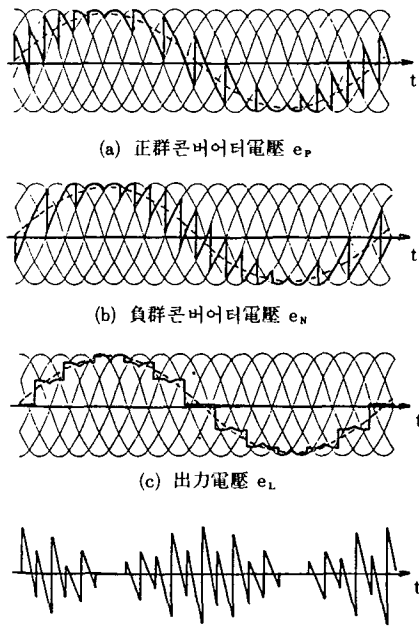


그림13. 循環電流形 NCC의 出力電壓波形

力電壓波形은 正群콘버터電壓과 負群콘버터電壓의 순시치를 산술평균한 값으로 나타낼 수 있다.

한편, 각 콘버터가 항상 on 상태에 있으며, 負荷電流가 正일 때는 正群콘버터가 負荷電流을 공급하고 負荷電流가 負일 때는 負群콘버터에 의해 負荷電流가 공급되므로 각 콘버터의 出力端에는 負荷電流의 1/2 振幅으로 매통하는 電流가 흐른다. 또한 각 콘버터電壓  $e_P$ ,  $e_N$ 이 같아서 리액터  $L_{cc}$ 의 양단의 電

位가 동일하므로 리액터  $L_{cc}$ 에는 殘留起磁力(trapped mmf)이 생긴다. 그 결과로서 循環電流에는 自己誘發成分(self-induced component)가 발생한다. 이 때문에 循環電流은 상당히 증가한다. 그림14에 循環電流形 NCC의 電流波形(高調波成分은 무시)을 표시하고 있다. 負荷電流를  $i_o = I_0 \sin \omega_0 t$ 라 하면 각 電流의 관계는 다음과 식으로 나타낼 수 있다.

$$i_p \frac{N}{2} + i_n \frac{N}{2} = I_0 \frac{N}{2} \quad (7)$$

$$\therefore i_p + i_n = I_0 \quad (8)$$

$$i_p - i_n = I_0 \sin \omega_0 t \quad (9)$$

$$\therefore i_p = \frac{I_0}{2} + \frac{I_0}{2} \sin \omega_0 t \quad (10)$$

$$i_n = \frac{I_0}{2} - \frac{I_0}{2} \sin \omega_0 t \quad (11)$$

여기서,  $i_p$ 는 正群콘버터電流,  $i_n$ 는 負群콘버터電流,  $N$ 는 리액터  $L_{cc}$ 의 卷線數이다.

循環電流의 自己誘發成分은 그림14(d)와 같으며, 각 콘버터의 出力電壓에 포함된 ripple電壓과는 무관계하며, 또한 이론적으로는 循環電流리액터  $L_{cc}$ 의 인

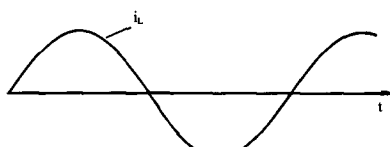
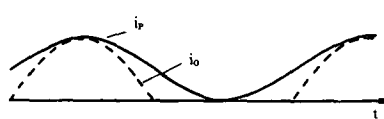
(a) 負荷電流  $i_L$ (b) 正群콘버터電流  $i_p$ (c) 負群콘버터電流  $i_n$ (d) 循環電流의 自己誘發成分  $i_{cc}$ 

그림14. 循環電流形 NCC의 出力電流波形

터턴스의 크기와도 무관계하다. 단, 電源周波數에 비해 出力周波數가 매우 낮은 경우에는 循環電流의 自己誘發成分은 거의 발생하지 않는다.<sup>[13]</sup>

循環電流의 自己誘發成分의 平균치는 각 콘버터電流의 0.57倍로 각 콘버터의 부담을 증가시키며, 變換效率를 저하시키는 요인이 될 우려가 있다. 따라서, 負荷電流에 무관계하게 콘버터에서 발생하는 無効電力を 제어하고자 하는 경우 등의 특수한 용도에만 이 방식의 NCC가 이용되고 있다.<sup>[8~10]</sup>

## 2. FCC

FCC는 디이리스터로 구성하면 부수적인 轉流回路가 필요로 하므로 主回路 구성이 매우 복잡해진다. 따라서 FCC는 直接變換의 이점을 충분히 활용할 수 없어, 이에 대한 연구가 활발히 진행되지 못했다. 그러나 최근 電力用半導體技術의 발전에 의해 自己消弧形素子의 성능이 향상되고, 制御理論을 실제의 시스템에 도입을 가능하게 한 LSI, 마이크로프로세서 등의 ingle路技術, 소프트웨어 技術의 진보에 의해 FCC에 관한 연구가 점차 활기를 띠기 시작했다.<sup>[11~13]</sup>

그림15(a)에 FCC의 回路構成을 표시하고 있다. FCC는 그림15(b)와 같이 9개( $S_{a1} \sim S_{c3}$ )의 양방향 스위치를 사용한다.  $\ell$ ,  $r$ 는 電源 인더턴스와 低抗이며, 入力端 콘덴서 C와 함께 入力필터를 구성한다. 스위칭周波數가 높은 경우에는 콘덴서 C는 작은 것으로 충분하다. FCC는

(1) DC 링크와 같은 에너지 축적요소가 필요없다.

(2) 4象限운전이 가능하다.

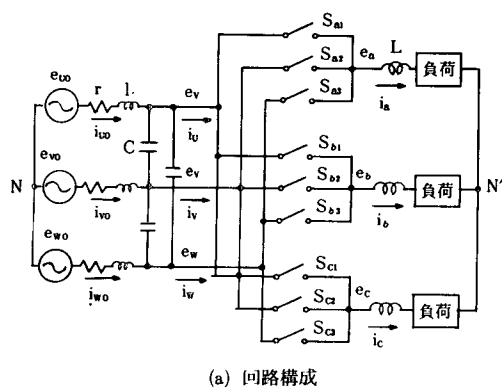
(3) 入力基本波功率을 제어할 수 있으며, 入力電流波形도 正弦波에 가깝다.

(4) 이론적으로는 出力周波數의 制限이 없다.

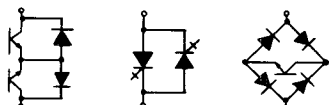
등의 이상적인 周波數變換器에 가까운 회로를 구성할 수 있다는 장점을 갖고 있다.

그러나, 負荷가 직접 電源에 걸리므로 보호回路의 신뢰성을 확보하기 어렵고, 素子의 이용율이 낮으며 制御回路의 구성이 복잡하다는 등의 문제점이 있다.

그럼 여기서 FCC의 周波數變換原理를 알아 보기로 하자. 三相電壓을 三相二相變換을 행하여 空間벡터로 표시하면 周波數變換은 일종의 座標變換이라 할 수 있다. 固定座標상에서 角速度  $\omega$ (入力角周波數)로 회전하고 있는 벡터를 角速度  $\omega_0$ (出力角周波數)로 회전하는 벡터로 변환하는 방법으로는  $\omega + \omega_0$ 로 회전하는 座標를 이용하는 방식과  $\omega - \omega_0$ 로 회전하는 座標를 이용하는 방식이 있다.



(a) 回路構成

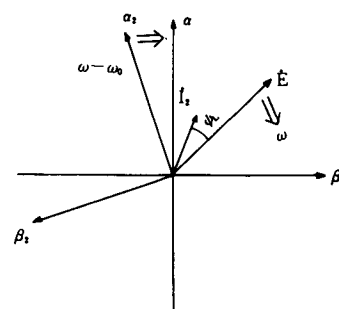


(b) ス위치 素子

그림15. FCC의 回路構成

그림16에  $\omega + \omega_0$ 로 회전하는座標를 이용하는방식을 표시하고 있다.  $\omega + \omega_0$ 로 회전하는座標(出力側座標)상에서,  $\omega$ 로 회전하는入力電壓ベク터  $\dot{E}$ 를 보면 反時計方向으로 角周波數  $\omega_0$ 로 회전하는ベク터가 된다. 그리고, 負荷力率角  $\varphi_L$  만큼 뒤진 出力電流ベク터  $i_1$ 는 고정하고 있는  $\alpha - \beta$ 座標(入力側座標)상에서 보면 入力電壓ベク터  $\dot{E}$ 보다 앞선 力率角  $\varphi_L$ 인 電流가 된다. 즉 다시 말하면, 角周波數가  $\omega$ 인 入力電壓  $e$ 를 角周波數  $\omega + \omega_0$ 인 스위칭함수로 周波數變換했을 때 負荷力率角이  $\varphi_L$ 이라면 入力力率角은  $-\varphi_L$ 이 된다.

그림17에  $\omega - \omega_0$ 로 회전하는座標를 이용한방식을 표시하고 있다.  $\omega - \omega_0$ 로 회전하는座標(出力側座標)에서  $\omega$ 로 회전하는入力電壓ベク터  $\dot{E}$ 를 보면 時計方向

그림17. 角周波數  $\omega + \omega_0$ 로 周波數變換 했을 때의 電壓·電流ベク터

으로 角周波數  $\omega_0$ 로 회전하는ベク터가 된다. 負荷力率角  $\varphi_L$  만큼 뒤진 出力電流ベク터  $i_2$ 를 고정된  $\alpha - \beta$ 座標상에서 보면 入力電壓ベク터  $E$ 보다 뒤진 力率角  $\varphi_L$ 인 入力電流가 된다. 따라서, 角周波數  $\omega$ 인 入力電壓  $e$ 를 角周波數  $\omega - \omega_0$ 인 스위칭함수로 周波數變換하면 入力力率角은 負荷力率角과 동일하게 된다.

이상과 같이 角周波數  $\omega + \omega_0$ ,  $\omega - \omega_0$ 인 두개의 스위칭함수를 동시에 이용하여 周波數變換했을 경우, 入力電壓ベク터  $\dot{E}$ 와 入力電流ベク터  $i_1$ ,  $i_2$ 를 固定座標( $\alpha - \beta$ 座標)상에서 보면 그림18과 같다. 그림의 두변환方式에서 入力電流ベク터  $i_1$ ,  $i_2$ 는 入力電壓ベク터  $\dot{E}$ 를 중심으로  $2\varphi_L$ 만큼 位相差가 생기며, 벡터  $i_1$ ,  $i_2$ 의 합성벡터  $i$ 는 負荷力率角에 관계없이 항상 入力電壓ベク터  $\dot{E}$ 와 同位相이 된다. 즉, 두변환方式을 행하는 기간을 시간평균해서  $1/2$ 씩 되도록 周波數變換하면 負荷力率과는 관계없이 항상 入力力率이 1로 된다.

여기서는 설명을 간단히 하기 위해 두 스위칭함수의 位相角을 零으로 놓고 설명했으나, 스위칭함수의 位相角을 미리 설정해 놓고 周波數變換을 행하면 負荷力率과는 관계없이 入力力率을 制御할 수 있다. 예를 들면, 角周波數  $\omega + \omega_0$ 인 스위칭함수의 位상각을  $\varphi_s$ , 角周波

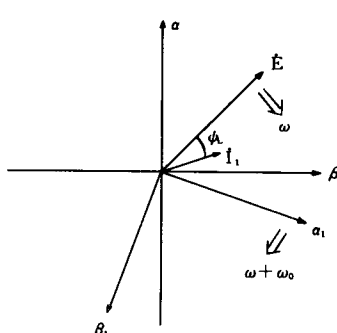
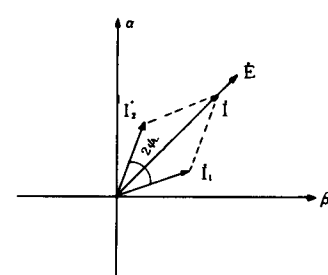
그림16. 角周波數  $\omega + \omega_0$ 로 周波數變換 했을 때의 電壓·電流ベク터

그림18. 入力側에서 본 電壓·電流ベク터

數  $\omega - \omega_0$  인 스위칭함수의 위상각을  $-\varphi_s$ 로 놓고 周波數變換하면 入力力率角은 負荷力率과 관계없이  $\varphi_s$ 로 된다.

그림18에 표시한 방법에 의해 제어했을 때의 實驗波形의 一例를 그림19에 나타내고 있다. 여기서, 電源電壓  $e_{uo}$ 의 振幅은 81.6V,  $L=0.6\text{mH}$ ,  $C=10\mu\text{F}$ 이며 負荷인덕턴스  $L=3.5\text{mH}$ , 負荷抵抗  $R=4\Omega$ , 出力周波數는 90Hz이다. 그림에서 入力基本波力率이 거의 1이며, 入力電流는 正弦波에 가깝다는 것을 알 수 있다.

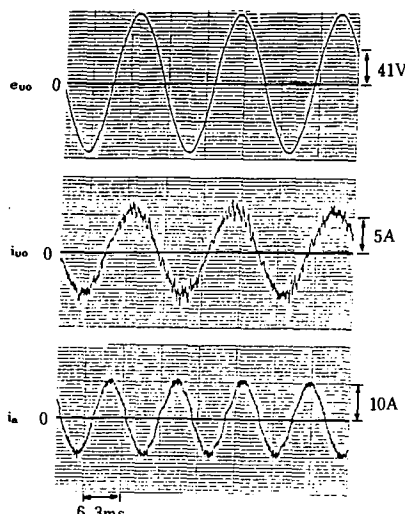


그림19. 電源電壓  $e_{uo}$ , 入力電流  $i_{uo}$ , 出力電流  $i_a$ 의 波形

### III. 싸이크로콘버터의 應用

다이리스터를 사용한 NCC는 大容量 交流電動機驅動, 誘導加熱, 無効電力補償 등의 電源으로 檢討되고 있다. 交流電動機驅動用 電源으로 사용된 實例로는, 1,800KW의 箔形誘導電動機의 ベ터제어 시스템에 NCC가 사용되어지고 있으며,<sup>[14]</sup> 미래의 육상교통수단으로서 연구개발이 진행되고 있는 磁氣浮上列車의 同期形리니어모터驅動用 電源으로 12,000KVA의 NCC의 설계제작에 성공하여, 시속 517km의 주행기록을 달성하고 있다.<sup>[15]</sup> 商用周波數의 三相電源에서 수 KHz의 單相交流를 얻는 誘導加熱用 電源으로 NCC를 이용하여 入力力率 및 入力電流波形을 개선하고 있다.<sup>[16~18]</sup> 이 NCC는 共振用 tank回路을 轉流用電源으로 이용하여 NCC로서의 동작을 하고 있으며, NCC와 共振用 tank回路 사이에서 無効電力を 制御하여 入力力率을 개선하고 있다. Arc 爐와 같은 低力率負荷는 반드시 無効

電力を 보상을 필요가 있다. 無効電力補償裝置로서도 상기의 共振用 tank回路를 이용한 NCC를 사용할 수 있다.<sup>[19]</sup>

大容量 電力變換裝置에는 다이리스터가 적합하여, 中小容量의 電力變換裝置에는 自己消弧形素子를 사용한 FCC가 적합하다 할 수 있다. 이 FCC는 현재 연구중에 있으며, 負荷로는 L, R로 구성하고는 있으나 인버터와 마찬가지로 出力電壓制御는 물론 出力電流制御도 가능하므로 交流電動機驅動用 電源으로 사용할 수 있으리라 예상되어 진다.<sup>[20]</sup>

### IV. 結論

以上에서 商用周波數의 交流를 다른 周波數의 交流로 直接變換하는 싸이크로콘버터의 여러가지 回路方式과 動作原理를 설명했다. 다이리스터를 사용한 NCC에 있어서는 入力力率 및 入力電流波形 개선을 중점적으로 설명했다.

NCC는 高効率이며 신뢰성이 높아 大容量 電力變換裝置에 적합하다. 현재 中小容量의 電力變換裝置는 인버터가 사용되고 있으나, 인버터 대신에 FCC를 채용하는 것도 검토할 가치가 있다고 생각된다.

### 參考文獻

- [1] サイリスター・リエクトロニクス編集委員會, “サイリスター回路”, 丸善, (1974).
- [2] 金丸, 雨宮, “3相 3倍周波數サイクロコソバータ”, 電氣學會論文誌 B, vol. 99, no. 10, p. 683, 1979.
- [3] B.R. Pelly, “Thyristor Phase-Controlled Converters and Cycloconverters”, John Wiley & Sons, 1971.
- [4] L. Gyugyi, B.R. Pelly, “Static Power Frequency Changers”, John Wiley & Sons, 1976.
- [5] 高橋, 赤木, 宮入, “非對稱ゲート制御方式によるサケクロコソバータの基本波力率の改善”, 電氣學會論文誌 B, vol. 96, no. 2, p. 75, 1975.
- [6] 高橋, 赤木, 宮入, “ブリッジ形リリースタの制御法と波形解析法”, 電氣學會論文誌 B, vol. 96, no. 2, p. 82, 1976.
- [7] 赤木, 高橋, 藤田, 宮入, “縦横接續サイクロコンバータの力率改善法とそのゲート制御方法”, 電氣學會論文誌 B, vol. 97, no. 8, p. 481, 1977.

- [8] T. Fukao, M. Matsui, I. Hieda, "A novel static var generator using cycloconverter operating in circulating current mode", IPEC-Tokyo, 1983.
- [9] 田村, 田中, 多田限, 西條, "循環電流制御によるサイクロコンバータの無効電力補償", 電氣學會論文誌 B, vol. 101, no. 11, 1981.
- [10] 金, 大熊, 岩田, "高周波タンク回路を用いた循環電流形サイクロコンバータのタンク周波数制御", 電氣學會論文誌 B, vol. 106, no. 4, p. 383, 1986.
- [11] A.R. Daniel, D.T. Slattery "Application of power transistors to polyphase regenerative power converters", PROC. IEE vol. 125, no. 7, p. 643, 1978.
- [12] P.D. Ziogas, S.I. Khan, M.H. Rashid, "Some improved forced commutated cycloconverter structures", IEEE Trans. Ind. Appl., vol. IA-21, no. 5, p. 1242, 1985.
- [13] 石田, 岩崎, 大熊, 岩田, "入力力率可變正弦波入出力 PWM制御サイクロコンバータの波形制御法", 電氣學會論文誌 D, vol. 107, no. 2, p. 239, 1987.
- [14] 小島, 江原, 杉, 宮崎, 工藤, 並木, "誘導電動機のベクトル制御とその應用", 東芝レビュリー, vol. 36, no. 2, p. 108, 1981.
- [15] T. Saito, S. Kaike, S. Tadakuma, "characteristics of linear synchronous motor drive cycloconverter for maglev vehicle ML-500 at miyazaki test track", IEEE Trans. Ind. Appl., vol. IA-17, no. 5, p. 533, 1981.
- [16] S.B. Dewan, G. Havas, "A solid-state supply for induction heating and melting", IEEE Trans. Ind. & Gen. Appl., vol. IGA-5, no. 5, p. 686, 1969.
- [17] 笠原, "高周波サイクロコンバータの等価回路とそれによる特性解析", 電氣學會論文誌 B, vol. 101, no. 11, p. 651, 1981.
- [18] Y. Kim, S. Okuma, K. Iwata, "Characteristics and Starting Method of a Cycloconverter with a Tank Circuit for Induction Heating", IEEE PESC Record, p. 301, 1986.
- [19] L. Gyugyi, "Reactive Power Compensation by Static Converters", U.S.-Japan Seminar S4.4, p. 149.
- [20] 岩崎, 石田, 金, 大熊, 岩田, "入力力率可變正弦波入出力 PWM制御サイクロコンバータの出力電流制御法", 半導體電力変換研究會, SPC-87-19, p. 51, 1987. \*

♣ 用語解説 ♣

#### Distortionless Circuit

출력 신호파형이 입력신호 파형과 꼭같은 회로를 말한다. 무왜곡 회로는 자연 회로처럼 그 감쇠가 주파수에 무관하고 일정하여야 하며 위상(位相) 상수가 주파수와 직선적 관계에 있어야 한다.

#### Distortionless Condition

무왜곡 회로를 구성하는데 필요한 조건. 이것은 자연회로의 조건과 꼭같아 그 감쇠가 주파수에 무관하고, 또 일정하여야 하며 위상 상수가 주파수와 직선적 관계에 있어야 한다. 즉, 분포상수 선로에서 단위 길이당의 저항, 인덕턴스, 용량 및 리컨스를 각각  $R$ ,  $L$ ,  $C$ ,  $G$ 라 하면  $RC=GL$ 이 무왜곡 조건으로서 그때의 상수  $\alpha=\sqrt{RG}$ , 위상 상수  $\beta=\omega\sqrt{LC}$ 가 되어 위의 필요조건을 만족한다. 이 경우의 특성 임피던스  $Z_0$ 은  $Z_0=\sqrt{R/G}=\sqrt{L/C}$ 가 된다. 장하(裝荷) 케이블은 전송대역 내에서 거의 이 조건을 만족한다. 또한 동축 케이블에서는 고주파 대역에서 이 조건을 만족한다.